乾燥積雪および氷板層ー舗装間の熱移動

福井大学 VBL 博士研究員 正会員 ○藤本明宏 福井大学特別研究員 正会員 渡邊 洋 福井大学大学院工学研究科 正会員 福原輝幸

1. 緒言

筆者らは、冬期道路管理の効率化を目的に、熱・水分移動による路面雪氷状態モデルを開発中である^{1), 2)}.本 論文では、これまで殆ど評価されていない舗装-雪氷層間を移動する熱(以下、舗装熱)に着目する.

図-1 は、乾燥積雪およびシャーベットと舗装間の接触状態をマイクロスコープで撮影したものである. (a) の乾燥積雪では、氷の粒径と同等オーダー(0.4~1.0mm)の空隙が点在し、氷粒子と舗装とが不連続に接触する. (b) のシャーベットでは、氷粒子間に水と空気が混合し、水の大部分は舗装と接触する. このように、舗装と雪氷層との境界(以下、界面)での接触状態は複雑であり、舗装と雪氷層間の接触熱抵抗は、雪氷状態によって異なる. 従って、舗装熱フラックスを正確に評価するためには、雪氷物性と接触熱抵抗の関係を調べる必要がある.

そこで,本研究では乾燥積雪および氷板路面で定常伝 熱実験を行い,接触熱抵抗と雪密度の関係を調べた.

2. 舗装熱フラックスの定式化

図-2に従って,界面の雪氷温度を T_{cs} (\mathbb{C}),舗装温度を T_{cp} (\mathbb{C})とすれば,定常状態の舗装熱フラックス G_{sp} (\mathbb{W}/\mathbb{m}^2)は,雪氷内部および舗装内部を伝わる熱フラックスに等

しい. よって、 G_{sp} は式(1)で与えられる.

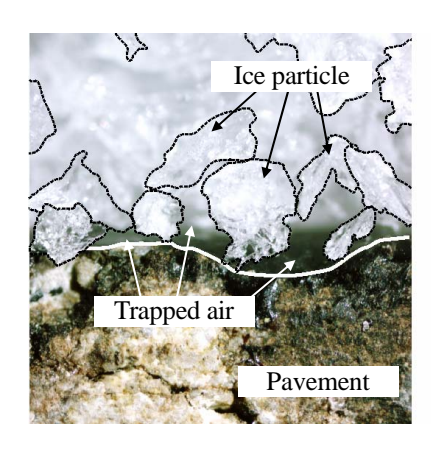
$$G_{sp} = -\lambda_s \frac{T_s - T_{cs}}{\Delta z_s} = \frac{T_{cp} - T_{cs}}{R_c} = -\lambda_p \frac{T_{cp} - T_p}{\Delta z_p}$$
(1)

ここに、 λ_s : 雪氷の熱伝導率(W/m/K)、 λ_p : 舗装の熱伝 導率(W/m/K)、 Δz_s : 雪氷厚(m)、 Δz_p : 舗装厚(m)、 T_s : 界面から Δz_s 離れた雪氷温度($^{\circ}$ C)、 T_p : 界面から Δz_p 離れ た舗装温度($^{\circ}$ C)および R_c :接触熱抵抗($^{\circ}$ M/W)、である.

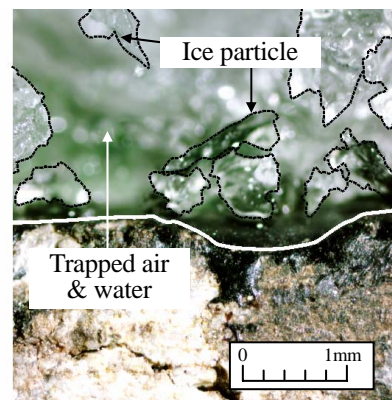
定常状態の舗装および雪氷の鉛直温度分布が分かれば、 T_{cp} および T_{cs} は推定できる。また、 G_{sp} は舗装鉛直温度勾配と λ_p より算出できる。これより、式(1)中で唯一の未知数である R_c は決定できる。

3. 定常伝熱実験

定常伝熱実験は、図-3 に示すように、密粒度舗装(W 0.30×L 0.49×H 0.11m) および削氷器で作製した人工雪を用いて、低温実験室で実施された。舗装内部温度を計測するために、舗装表面下 5, 10, 15, 25, 35, 45, 65 および 95mm に熱電対を埋設し、側部をスタイロフォーム(厚さ=50mm)で断熱した。舗装底部は、恒温水槽から供給される約 3℃の水と接触させ、温度を一定にした。雪氷温度は、舗装表面から 5, 10, 15 および 20mm 上方に



(a) 乾燥積雪路面



(b) シャーベット路面

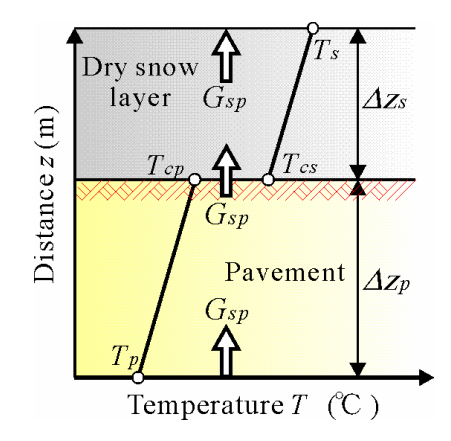


図-2 舗装と乾燥積雪層の熱伝導と温度勾配 (定常状態)

図-1 舗装と雪氷層との接触状態

キーワード 接触熱抵抗,雪密度,熱収支,道路雪氷,舗装

連絡先 〒910-8507 福井市文京 3-9-1 福井大学工学部建築建設工学科 環境熱・水理研究室 TEL 0776-27-8595

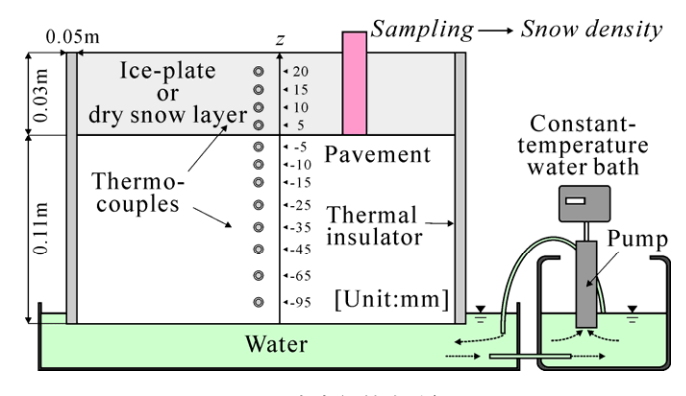


図-3 定常伝熱実験概要

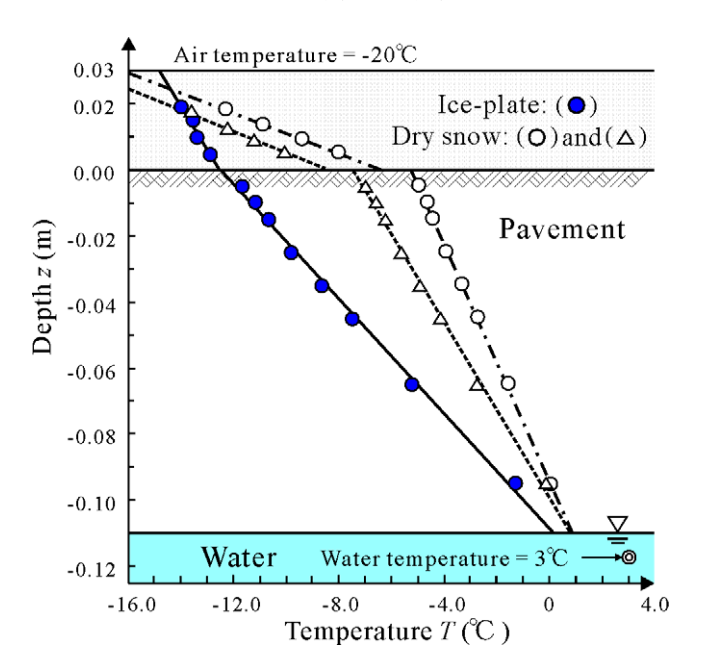


図-4 室内温度, 乾燥積雪および氷板の鉛直温度分布, 舗装鉛直温度分布および舗装下部の水温

設置した熱電対により測定した.

実験は、(1)舗装上に雪氷層(厚さ=約 30mm)を作る、(2)雪密度 ρ 。を円管サンプラーで測定する、(3)雪氷および舗装の内部温度を5秒間隔で計測する、(4) ρ 。を変えて、(1) \sim (3)を繰り返す、の手順で行った.

実験条件は、 ρ_s が 308、351、356、425 および 499kg/m³ の乾燥積雪と氷板 (ρ_s =916kg/m³) の計 6 ケースとした.

4. 実験結果

図-4 は、室内温度、雪氷と舗装鉛直温度分布および舗装下部の水温を示す。同図には、雪氷と舗装の鉛直温度分布の近似線を併せて示す。ここでは、実験の代表例として、氷板路面(\bullet)、 ρ_s =308 および 499kg/m³ の乾燥積雪路面(\circ)および(\triangle)の結果を示す。いずれのケースでも、雪氷および舗装中の鉛直温度分布は直線であり、定常状態と判断できる。

表-1 定常伝熱実験結果

Item	Unit	Dry snow		Ice plate
$ ho_{s}$	kg/m ³	308	499	916
dT_p/dz	°C/m	-55.7	-74.9	-115.1
dT_s/dz	$^{\circ}$ C/m	-328.2	-310.6	-75.6
G_{sp}	W/m^2	76.7	103.1	158.4
T_{cp}	$^{\circ}\!\mathrm{C}$	-5.3	-7.4	-12.5
T_{cs}	$^{\circ}\!\mathrm{C}$	-6.4	-8.4	-12.5
R_c	m^2K/W	15.3×10^{-3}	8.9×10^{-3}	0.3×10^{-3}

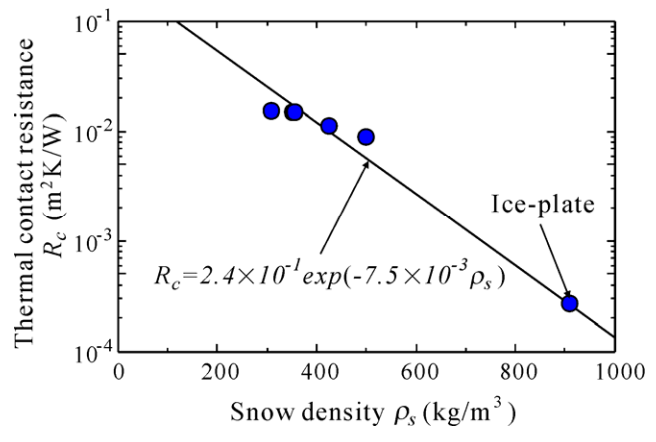


図-5 接触熱抵抗と雪密度の関係

表-1 に実験結果一覧を示す。同表の上から 2 行目に ρ_s を示す。3 行目に示す舗装の鉛直温度勾配 dT_p/dz (<0) は、 氷板で最も小さく、 積雪層では ρ_s が小さくなるに伴い大きくなる。従って、 G_{sp} は ρ_s に比例して増加し、氷板で最も大きい(5 行目)。

次に、 dT_p/dz および dT_s/dz より計算された T_{cp} および T_{cs} を 6 および 7 行目に示す.界面での温度差 $(T_{cp}-T_{cs})$ も ρ_s が小さくなるにつれて大きくなる.

以上より、最下行に示す R_c は、 ρ_s が増大するにつれ、 15.3×10^3 、 8.9×10^3 および 0.3×10^3 m²K/W、と小さくなる.

図-5 に、 R_c と ρ_s の関係を片対数表示で示す。同図には、図-3 で示した結果以外に、3 ケースの実験結果を追加している。 ρ_s の増加に伴って、 R_c は指数関数的に減少し、 R_c と ρ_s の関係は式(2) で与えられる。

$$R_c = 2.4 \times 10^{-1} \exp(-7.5 \times 10^{-3} \rho_s)$$
 (2)

参考文献

- 1) 藤本明宏,渡邊洋,福原輝幸:路面雪氷層ー舗装間の接触 熱抵抗,土木学会論文集, Vol. 63, No. 1, 2007. (登載予定)
- 藤本明宏,渡邊洋,福原輝幸:路面薄雪氷層の融解解析, 土木学会論文集, Vol. 63, No. 2, 2007. (登載予定)